解説

単一分子磁石の磁化反転緩和と熱測定

中野 元裕

大阪大学 大学院理学研究科 附属構造熱科学研究センター

(受取日: 2014年6月25日, 受理日: 2014年7月7日)

Calorimetric Examination of Single-Molecule Magnets Focusing on Magnetization Reversal Relaxation

Motohiro Nakano

Research Center for Structural Thermodynamics, Graduate School of Science, Osaka University

(Received June 25, 2014; Accepted July 7, 2014)

Recent studies on heat capacity calorimetry of nanomagnets including single-molecule magnets are reviewed. Single-molecule magnet is the name of paramagnetic molecules showing superparamagnetic behavior and blocking of magnetization reversal despite the absence of magnetic long-range order. Heat capacity calorimetry plays an important role in the characterization of this class of nanomagnets, not only for determination of spin energy levels and magnetic anisotropy but also for confirming the absence of magnetic long-range order. In another view, single-molecule magnets serve as a playground for the demonstration of *kinetic* selection rule dominating thermal excitations, thanks to an additional control parameter of external magnetic field which can open/close relaxation channels relating to transverse or longitudinal manner of application. Related nanomagnets covering single-chain magnets and antiferromagnetic spin rings are also discussed. The Zeeman-split spin levels of the latter show avoided crossings due to the off-diagonal matrix elements of magnetic anisotropy, and it is revealed that heat capacity calorimetry is useful for understanding such level systems.

Keywords: single-molecule magnet (SMM), single-chain magnet (SCM), antiferromagnetic spin ring, magnetization reversal, heat capacity calorimetry, frequency-dependent calorimetry.



中野 元裕 Motohiro Nakano E-mail: moto@chem.sci.osaka-u.ac.jp

1. はじめに

単一分子磁石(single-molecule magnets, SMM)は常磁性金属錯体の一群で、低温で分子磁化の反転頻度が低くなり、極端なケースでは観測時間スケールで反転が凍結して、磁気的な長距離秩序をもたないにもかかわらず磁気ヒステリシスを示すに至る。「4)一言で表すと、「分子サイズの永久磁石」であり、磁気記録の高密度化や量子コンピューターの演算キュビットとしての応用に興味をもたれ、1990年代以降、精力的に研究されてきた。その多くは複数の遷移金属イオンが架橋配位子で結ばれた多核錯体で、架橋を通じた交換相互作用で各イオン上のスピンが結合し、大きな合成スピン(分子磁化)を形成している。

SMM として発現するためには、ふたつの要件を満たす ことが求められており、そのひとつ目は上で述べたように 合成スピンが充分に大きく,古典的なベクトルとして振る 舞うことである。これは合成スピン量子数 S が小さい場合, 量子ゆらぎ(トンネル効果)が分子磁化を容易に反転させ るため、永久磁石として磁極を保持できないことに由来す る。もうひとつの要件は、分子磁化が「容易軸型」の磁気 異方性を有し、この異方性からなるエネルギー障壁が反転 を抑制する効果をもつことである。異方性エネルギー障壁 が一軸性ゼロ磁場分裂パラメーターD を用いて U_{eff} = $D(S_Z)^2$ $(S_Z$ は合成スピンのZ軸成分)と表現されることか ら、この要請は negative D 条件と呼ばれている。これらの 要件を満たしたとき、分子ひとつのもつ磁化 $M = g\mu_B S$ はポ テンシャル障壁で隔てられた「上向き (up-spin)」と「下向 き (down-spin)」のふたつの状態を Arrhenius 型の熱活性化 過程で行き来する,いわゆる「超常磁性」挙動を示し,低 温では一種のガラス転移(ブロッキング現象)を起こして 磁化の反転の禁止された永久磁石となる(Fig.1)。通常の 超常磁性体は,磁気秩序をもつ強磁性体の単一磁区からな る微粉末で,磁区のもつ磁化があたかも常磁性体のように 熱揺動しているが、SMM はまさに分子であるがゆえにサ イズの分布をもたないため,単一の緩和時間をもつ Debye 型緩和でよく記述される。さらに結晶中では分子配向も揃 っており外部からバイアス磁場をかけてスピン準位を自由 にシフトさせられるため, 共鳴磁化トンネル現象のような 量子効果も容易に観測できるという特徴をもち,メゾスコ ピック物理の格好の実験対象となっている。

Fig.1 のようなスピン準位をもつ異方的スピンに縦磁場・横磁場を加えたときの Zeeman 分裂の様子を Fig.2 に示した。縦磁場では up-spin 側と down-spin 側の二重縮重が除

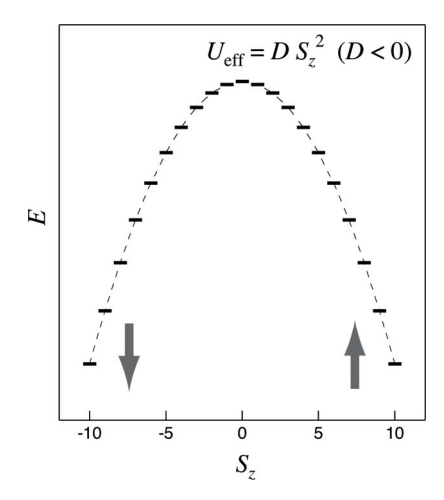


Fig.1 Zero-field splitting energy levels of molecular spin S = 10. Each level is labeled by the z-component of the spin (S_z) .

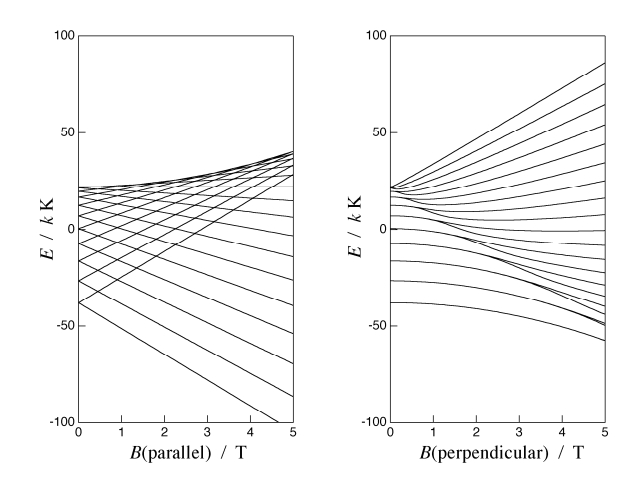


Fig.2 Longitudinal and transverse Zeeman splitting for spin energy levels of molecular spin S = 10 affected by uniaxial zero-field splitting DS_z^2 (D < 0).

かれるのが見てとれるが、スピン副準位の交差が等間隔の磁場で起こっている。この準位交差は up-spin 側と down-spin 側のエネルギーを保存したまま異方性障壁を越える、トンネル過程での分子磁化の反転を大いに促進し、共鳴磁場 $B_{\rm reson}$ における共鳴磁化トンネル現象と呼ばれている。その結果、メゾスコピックな永久磁石である SMM では、磁化履歴曲線の $B_{\rm reson}$ の位置に多数のステップを生じ、特徴的なかたちとなる(Fig.3)。 4 これはあくまで1分子内で完結した現象であって、弱く相互作用するスピン対でしばしば見られる交差緩和とは区別されることに注意されたい。

熱容量カロリメトリーは SMM を特徴づける, いくつか の重要な情報をあたえる。例を挙げると、ブロッキング温 度 $T_{\rm B}$, 共鳴磁化トンネル現象の起こる準位交差磁場 $B_{\rm reson}$, SMM の磁化緩和の主要な原因と考えられている電子スピ ンと核スピンの間の超微細相互作用などである。熱容量カ ロリメトリーがエネルギー準位構造を決定する分光法とし ての側面をもつことは良く知られている。⁵⁾ これは,相転 移温度のような特異点以外では熱容量が状態密度の Laplace 変換である正準分配関数から導出できるからであ る。有限数の離散準位からの寄与は Schottky 熱容量異常の 名で知られており、低温端は $\exp(-\Delta E/k_{\rm B}T)/T^2$ に従って立 ちあがり、高温端は T^{-2} で減少する。一方、フォノンやマ グノンなどの連続スペクトルをもつ素励起に由来する熱容 量は分散関係や格子次元に依存するべき依存性 T"をもつ。 これらを解析することにより、磁気異方性をはじめとする スピンハミルトニアンパラメーターを決定することができ る。

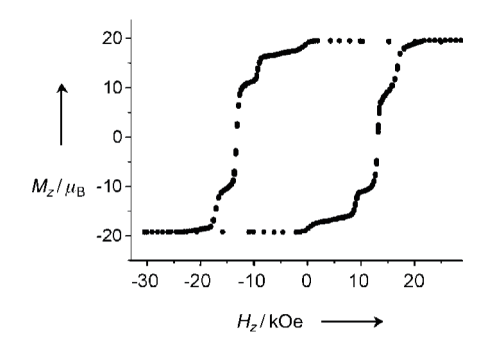


Fig.3 Magnetization hysteresis loop of $[Mn_{12}O_{12}(OAc)_{16}\ (H_2O)_4].^{4)}$ Resonant tunneling extremely promotes the reversal of molecular magnetizations, resulting in the stepped loop structure.

ブロッキング温度 T_B は一種のガラス転移温度で、これよ り低温側では分子磁化の熱活性化反転の時間スケールが観 測時間の尺度(~100秒)を超えて,分子ひとつが永久磁石 の挙動を示すようになる。分子間の磁気相互作用が無視で きる場合には、up-spin 状態と down-spin 状態の縮重を解く ために外部磁場を印加して熱容量測定を行うと, Zeeman 分裂した基底二重項 $S_z = \pm S$ の Schottky 熱容量が観測され るが, 系が非エルゴード的になるブロッキング温度 TB以下 でその寄与を失い、ガラス転移に特徴的な熱容量のステッ プを示す。熱励起を観測するカロリメトリーにおいて、こ のようなエルゴード-非エルゴード状態のクロスオーバー は、光励起を用いる各種分光法における「選択律」が許容 から禁制遷移に変化したことに対応する。T_B以下ではSMM 分子に含まれる核スピンは定常的な内部磁場を感じること になり、この超微細構造をもつ核スピン準位もまたさらに 低温域で Schottky 熱容量を与える。

SMM 分子間の相互作用が無視できない場合は、孤立分子の挙動からずれて短距離秩序の成長にともなう熱容量異常が観測されはじめる。すると磁化反転の速度論的凍結と磁気長距離秩序をもたらすスピン相関が競合し、期待される磁気相転移温度 T_c が T_B よりずっと低ければ SMM 挙動が保たれ、バイアス磁場を印加することなしにブロッキング現象による熱容量のステップが観測される。一方、Arrheniusプロットの外挿から予測される T_B よりも T_c が高ければ最低温で長距離秩序が形成され、SMM 的な Ising スピンでは $R \ln 2$ の転移エントロピーをもつ磁気相転移が観測される。 T_B 以下の温度においても量子トンネル効果によって長距離秩序が確立されうるか、については興味深い議論がなされており、後の節で再度触れることにしよう。

2. マンガン 12 核クラスター

4つのMn(IV)イオンと8つのMn(III)イオンからなるマン ガン 12 核混合原子価錯体 [Mn₁₂O₁₂(OAc)₁₆(H₂O)₄] (以降, Mn12 と略称) は大きな基底スピンS=10 と高い磁化反転 障壁 $U_{\text{eff}}/k_{\text{B}}\sim60~\text{K}$ をもち、最初に発見された SMM として 知られている。6 コア構造を保ったまま化学修飾したもの, 例えば酢酸配位子を他のカルボン酸と置換したり、Mn(III) イオンの一部を還元したもの等、いずれも SMM 挙動を示 し、ひとつのファミリーをなしている。この分子のもつ大 きな磁気異方性は、Jahn-Teller 変形した 8 個の Mn(III)イオ ンの磁化容易軸が分子中でほぼ平行に揃っていることに起 因している。すべての Mn(III)イオンで Jahn-Teller 変形の伸 長方向が一致せず、ひとつまたはふたつが分子軸から外れ た方向をとる場合があり、「Jahn-Teller 異性体」と呼ばれて いる。⁷⁾ Mn12 誘導体の中には、化学的に純粋な結晶状態 にあっても複数の Jahn-Teller 異性体を含んでいるものも知 られている。

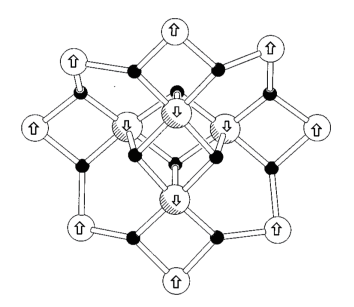


Fig.4 Skeletal structure of $Mn_{12}O_{12}$ core.⁶⁾ Four ferromagnetically-coupled Mn(IV) ions carrying S=3/2 are surrounded by eight peripheral Mn(III) ions carrying S=2.

Mn12 ファミリーの熱容量の温度変化は、単結晶試料, $^{13-17}$) 多結晶試料, $^{8-12}$) いずれについても報告がある。磁場中での測定例ではブロッキング温度 T_B において明確な熱容量の段差が観測されている。 8,9,12) 一方,隣接分子からの双極子磁場が基底スピン二重項の縮重を解くことから,ていねいに測定すれば外部磁場をかけなくとも凍結過程を観測することができる。 11 この測定では T_B が大きく低下するとともに分布をもつことが示され,シャープなブロッキングを示す他の磁場中での研究と対照的な結果となった。トンネル過程を促進する横磁場の効果についても検討されている。 $^{15-17}$ 低磁場では Orbach 過程により T_B の低下が観測されるが,高磁場ではブロッキングが完全に消失する。

核スピン I=5/2 を有する 55 Mn 核の自然存在比が 100 % であることから, 0.5 K 以下では核スピン準位の超微細分裂 に基づく Schottky 熱容量が見えてくる。 $^{9,11-12,15-17)}$ 熱容量測 定から決定された超微細相互作用定数の値は 55 Mn-NMR や密度汎関数計算で求められた内部磁場の値と矛盾しないが, $^{11-12)}$ 核スピン熱容量の磁場依存性を理解するためにはかなり長い核スピン-格子緩和時間を仮定する必要があると指摘されている。 $^{7)}$

Mn12 系の熱容量実測値は以上で述べた寄与を足しあわせるとうまく再現できる。例えば、 $[Mn_{12}O_{12}(O_2CEt)_{16}(H_2O)_3]$ の熱容量は、フォノン系の寄与を表す Debye 温度 Θ_D = 30 Kの Debye 関数 C_{lat} , 異なるゼロ磁場分裂パラメーター D_1/k_B = -0.96 K (93.1%), D_2/k_B = -0.19 K (6.9%)をもつ 2 種類の Jahn-Teller 異性体に相当する電子スピン副準位からの Schottky 熱容量 $C_{spin}(D_1)$, $C_{spin}(D_2)$, さらに 55 Mn 核の超微 細準位からの Schottky 熱容量の高温端の寄与を

$$C_{\rm hf} \sim \frac{nR}{3}I(I+1)\left(\frac{h\nu_{\rm n}}{k_{\rm B}T}\right)^2$$
 (1)

と高温展開の初項で近似することにより、ほぼ完全に表現される。 $^{12)}$ ここで、n は分子に含まれる 55 Mn 核の数、 ν_n は 55 Mn-NMR の共鳴周波数である。

一般に、ヒーター出力を周波数 ω で変調する交流カロリメトリーは時間に依存する現象の研究に威力を発揮するが、Mn12 ファミリーに対しても周波数変調熱容量 $C(\omega)$ の縦磁場依存性が報告されている。 $^{14,18-20)}$ スピン-格子緩和時間 τ が充分に短く熱平衡状態をとれる場合($\omega\tau$ << 1)には、磁

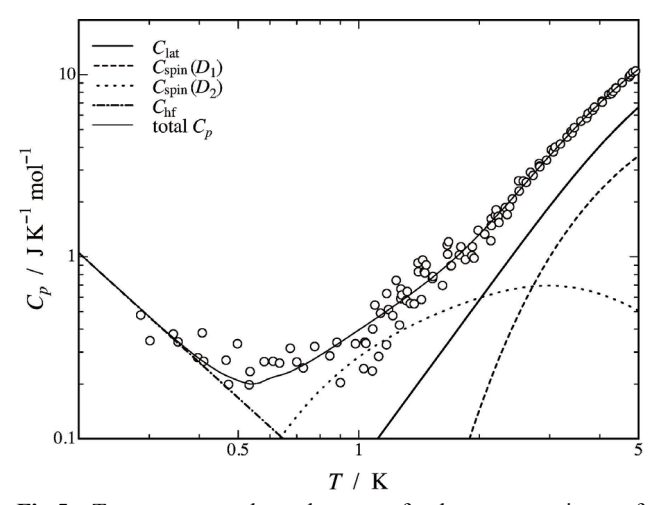


Fig.5 Temperature dependence of heat capacity of $[Mn_{12}O_{12}(O_2CEt)_{16}(H_2O)_3]$. C_{lat} , C_{spin} , C_{hf} , and total C_p indicate the Debye heat capacity, the multi-level Schottky heat capacities from two Jahn-Teller isomers, the contribution from the hyperfine interaction, and the net heat capacity, respectively.

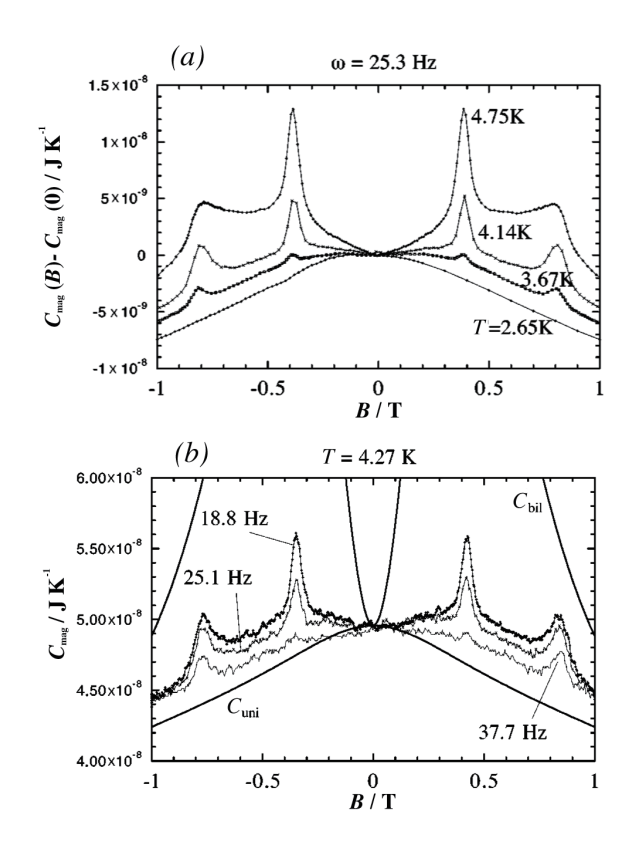


Fig.6 AC heat capacity $C(\omega)$ of an Mn12 single crystal sample under magnetic field applied parallel to the molecular axis. Remarkable enhancement is recognized at the level-crossing fields B_{reson} , which disappears below the temperature where the relaxation time of spin reversal coincides with the timescale of measurement frequency ω .

化反転障壁の両側、すなわち up-spin 側の副準位($M_S=0$ 、…、+S-1、+S)も down-spin 側の副準位($M_S=-S$ 、-S+1、…、0)も熱励起してポピュレーションを交換できることから、Zeeman 分裂に相当する Schottky 熱容量が観測される(Fig.6 における「バイラテラル」熱容量曲線 $C_{\rm bil}$)。 $^{14)}$ 系が冷却されてスピン-格子緩和時間が測定の時間スケールを凌駕すると($\omega\tau >> 1$), up-spin 側と down-spin 側のポピュレーションの流れが速度論的に阻害され、熱容量は低い値(Fig.6 の「ユニラテラル」熱容量曲線 $C_{\rm uni}$)を示すこととなる。中間温度域においては、いくつかの共鳴磁場 $B_{\rm reson}=-nD/g\mu_B$ で鋭い熱容量ピークが観測されているが、これらはOrbach 型の熱活性化インコヒーレントトンネル過程が熱容量測定における速度論的選択律を破っていることとして理解できる。なお、ブロッキング温度 T_B より低い温度ではこれらのピークも完全に抑制される。

別系統のMn12 核錯体 $[Mn_{12}L_8(RCOO)_{14}]$, いわゆる車輪型 Mn12 ファミリーの熱容量も報告されており、 $^{21)}10$ K 付近に基底スピン準位のゼロ磁場分裂による Schottky 熱容量と帰属される幅の広い熱異常が見いだされているが、こちらも磁気的な長距離秩序の兆しはないとされている。

3. 鉄 8 核クラスター

Fe(III)からなる 8 核クラスター $[(tacn)_6Fe_8O_2(OH)_{12}](Br)_8$, (以降 Fe8) は S=10 の基底スピンを有し,Mn12 に次いで詳しく研究されている SMM である。正方対称をもつ Mn12 分子とは対照的に,基底スピンの磁気異方性テンソルが斜

方性をもっているのが特徴である。この一軸対称性からのずれのおかげで、この系は分子磁化の反転過程に量子干渉効果 (Berry の位相) が存在することが示された最初の例となった。4)

Fe8 の熱容量の温度変化は、磁場印加なしの場合、¹¹⁾ 横磁場をかけた場合 ^{15-17,22)} に加えて、交流カロリメトリーでは縦磁場の効果 ²³⁾ についても研究されている。Fe8 の熱挙動は、Mn12 と比べて磁化反転障壁が若干低いということ、磁気異方性が斜方成分をもつことを除けばほぼ同じである。Fe8 単結晶の交流カロリメトリーで 2.6 K 付近に奇妙な熱容量異常が見いだされている。²⁴⁾ この異常は測定周波数に依存せず、4.0 T までの外部磁場の印加によって低温方向にシフトするなど、反強磁性長距離秩序の獲得にともなうNéel 点とよく似た挙動を示す。その後、緩和法による再測定では 2 K 付近にはこのような異常は存在せず、低温部の熱容量はスピン基底準位からの Schottky 成分と局所場の揺らぎであますところ無く説明できたと報告されている。²⁵⁻²⁶⁾

4. そのほかの単一分子磁石

いくつかの SMM 系は、冷却に際しブロッキング温度に到達する前に磁気相転移することが知られており、 λ 型のピークが観測されている。例えば、 $[Mn_4(hmp)_6Br_2(H_2O)_2]Br_2$ は $T_c=1.33$ K, 27 $[Fe_{19}(metheidi)_{10}(OH)_{14}(O)_6(H_2O)_{12}]$ NO $_3$ · 24H $_2$ O は $T_c=1.19$ K, $^{28-29}$ $(enH_2)_2[Fe_6(\mu_3-O)_2(\mu_2-OH)_6(ida)_6]$ · 6H $_2$ O·2EtOH は $T_c=0.99$ K 29 をもつ。これらの化合物の長距離秩序をもたらす分子間相互作用は超交換相互作用であるとされている。一方、磁気双極子相互作用が支配的なケースも知られており、 $T_c=0.16$ K の $[Mn_6O_4Br_4(Et_2dbm)_6]$, $^{22,30-31}$ $T_c\sim0.85$ K の $(Hpyr)[Fe_{17}O_{16}(OH)_{12}(py)_{12}Br_4]Br_4$ などがそれにあたる。また、 $[Fe_4(OCH_3)_6(dpm)_6]$ では長距離秩序の存在が示唆されているが、 33 2 K 以上の熱容量測定では未だ熱異常は確認されていない。 34

S=9/2 をもつ一連のマンガン 4 核錯体 [$Mn_4O_3L(dbm)_3$] $(L = Cl(OAc)_3, (OAc)_4, (O_2CC_6H_4Me)_4)$ (それぞれ Mn_4Cl , Mn₄Ac, Mn₄Me と略称)の熱容量が緩和法により測定され ている。^{22,26,35-37)} 平衡到達時間(あるいは装置緩和時間) τ_e の温度依存性は物質ごとに大きく異なり、温度ドリフト 測定を時間 τ で打ち切って得られた熱容量 $C_p(\tau)$ も顕著な 差を見せた。Mn₄Cl は電子スピン-格子緩和が比較的遅く, 1 K 以下では平衡化にかなりの時間を要する。しかるに Mn_4Me はスピンー格子緩和が早く、 $T_c = 0.21 \text{ K}$ での磁気長 距離秩序にともなうん型の熱異常も平衡熱容量として観測 できる。非常に低い転移温度ではあるが、双極子-双極子相 互作用ではなく、 $|J|/k_{\rm B}\sim0.14~{
m K}^{37)}$ の超交換相互作用を起 源にもつと解釈されている。これらの観測事実の上に、こ の温度域における電子スピン系の熱平衡化は, 最低 Kramers 二重項内のインコヒーレント磁化トンネリングが 促進しているものと推測されている。このことから、ブロ ッキング温度より低い温度で量子トンネル効果によって磁 気秩序が確立されうるか、という問いへの答えは是である と考えられる。インコヒーレントトンネル過程の影響下で スピン系は核スピンが媒介するスピンー格子相互作用を通 して熱浴と結合しているからである。

Ni₄ キュバン型 4 核錯体は分子内の強磁性的相互作用で基底スピン S=4 をもつ。[Ni₄(OH)(OMe)₃(Hphpz)₄(MeOH)₃] (MeOH) は 300 mK まで冷却しても磁気秩序は見られず,低温熱容量から分子のゼロ磁場分裂パラメーターが求められている。 $^{38)}$ 一方,[Ni(hmp)(dbm)Cl]₄ は典型的な λ 型熱容量異常を $T_{\rm c}\sim 300$ mK にもち,3 次元強磁性体へと秩序

化することが判った。39)

近年,希土類イオンを含む SMM が多数,報告されているが,熱容量測定の例は少ない。希土類系 SMM の中で,フタロシアンニンサンドイッチ化合物はその高いブロッキング温度と分子の対称性から集中的に研究が進められており,トリプルデッカー型錯体 $[Tb_2(obPc)_3]$ では緩和法により 10~K 以下の熱容量が測定されている。 40 ひとつの分子に Ising スピン <math>J=6 をもつ Tb(III)イオンがふたつ含まれており,それらの間には主として磁気双極子相互作用がはたらいているため,外部磁場がかかっていない場合基底状態は $\uparrow\uparrow>$ と $\downarrow\downarrow>$,励起状態は $\uparrow\downarrow>$ と $\downarrow\uparrow>$ の,それぞれ二重縮重準位となる。そこで,ゼロ磁場では縮重度比 1:1 の 2 準位 Schottky 熱容量が、磁場印加すると Zeeman 分裂して Zeeman の磁気エントロピーをもつ Zeeman 公認過ごれている。

5. 単一次元鎖磁石

1963年にGlauberは1次元Ising模型のモンテカルロシミ ュレーションを行い、低温で遅い磁気緩和が起こることを 見いだした。⁴¹⁾ 単一次元鎖磁石 (single-chain magnets, SCM) は、Glauber の計算機実験から予測されるように SMM と類 似のブロッキング現象を示す、Ising スピンからなる強磁性 的もしくはフェリ磁性的な1次元系で,基本的には長距離 秩序をもたない。典型例は、極めて異方的な交換相互作用 で結ばれた Co(II)イオンと有機ラジカルの交互鎖 ⁴³⁾ や,も ともと大きな分子異方性をもつSMMからなる連結鎖⁴⁴⁾で ある。後者の容易軸型スピン鎖は厳密には Ising 鎖と区別さ れるべきであるが、磁気挙動はほぼ等価と考えてもよい。 なお, 低次元磁性体の熱容量については, 1970年代に詳し く研究されているが、⁴²⁾ ブロッキング現象を意識した測定 はなされていなかった. 金属イオン-有機ラジカル交互鎖の 熱容量は [Mn^{III}(5-TMAMsaltmen)(TCNQ·)](ClO₄)2 の例が 知られており、0.6 K まで冷却しても磁気秩序は示さな لار_° 45)

SMM 連結鎖の熱容量は, $[Mn_4(hmp)_6R_2](ClO_4)_2$ (R=OAc, Cl) ⁴⁶⁾ や希土類-遷移金属混合鎖 $[Ln(bpy)(H_2O)_4$ $M(CN)_4]$ (Ln=Gd(III), Y(III); M=Fe(III), Co(III)) ⁴⁷⁾ で報告されている。前者は特徴的な単分散の磁気緩和を示し,⁴⁸⁾ 後者は外部磁場を印加すると同様の緩和を示す。この中では, $[Gd(bpy)(H_2O)_4Fe(CN)_4]$ を除き,磁気秩序を示すものはない。マンガン 4 核鎖系では,磁気エントロピーはゼロ磁場分裂したスピン準位の寄与, $R\ln(2S+1)=R\ln19$ でうまく説明できる。

マンガン4核鎖系の研究はその後、1次元系から磁気秩序の見られる2次元系へも展開させられた。例を挙げると、 $[Mn_4(hmp)_6\{N(CN)_2\}_2](ClO_4)_2$ $(T_N=4.35~K)$,

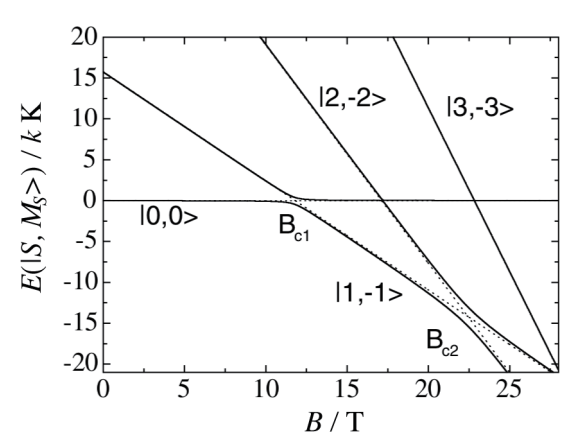
[Mn₄(hmp)₄Br₂(OMe)₂{N(CN)₂}₂]·2THF·0.5H₂O (T_N = 2.03 K), [Mn₅(hmp)₄(OH)₂{N(CN)₂}₆]·2MeCN·2THF (T_c = 1.96 K), [Mn₄(hmp)₄(pdm)₂{N(CN)₂}₂](ClO₄)₂·1.75H₂O·2MeCN (T_c = 380 mK) などがある。⁴⁹⁻⁵²⁾

6. 反強磁性スピンリング系

反強磁性スピンリング,中でも車輪型鉄錯体は,スピン準位の Zeeman 分裂が交差反撥する際にともなう量子干渉性に興味をもたれたことから,精力的に研究が進められた。 $^{53)}$ 基底スピンが S=0 となる反強磁性スピンリングはもちろん SMM の範疇には含まれないけれど,量子効果が関与する興味ある有限スピン系としてここでも採りあげたい。熱容量測定 $^{26)}$ されている化合物としては,

[LiFe₆(OCH₃)₁₂(dbm)₆]PF₆, $^{54-55)}$ [NaFe₆(OCH₃)₁₂(pmdbm)₆]PF₆, $^{54-56)}$ [LiFe₆(OCH₃)₁₂(dbm)₆]BPh₄, $^{57)}$ [Fe₁₀(OCH₃)₂₀(C₂H₂O₂Cl)₁₀], $^{56)}$ [Fe₁₂(OCH₃)₁₂(dbm)₁₂], $^{58)}$ [Cr₈F₈(piv)₁₆] $^{59-60)}$

Fig.7 に示したのは、反強磁性的 Fe(III) 6 員環錯体のスピ ン準位が、環平面の法線に 25°の角度をなすように外部磁 場を印加したとき、異方性エネルギー項によるS混合のた めに交差反撥している様子である。57) 二準位 Schottky 熱 容量曲線の性質として、極大をとる温度 T_{max} は準位間隔 Δ と $\Delta \approx 2.5 k_{\rm B} T_{\rm max}$ という関係にあるので、温度一定で磁場掃 引した場合, この共鳴条件を満たす磁場で熱容量は極大を 示し、また、厳密な準位交差が起こった場合には熱容量が ゼロとなる筈である。これらに注意して Fig.8 の熱容量曲 線を見ると、Fig.7 の Zeeman 準位と見事に符合しているこ とが判る。準位交差磁場である B_{cll} , B_{cl2} で熱容量が消失し ないことがまさに、これらの磁場で有限のギャップが存在 し、それが量子干渉性の原因となる非対角要素を与えてい ることを示している。最近、同様の準位反撥はリング型で はないフェリ磁性的マンガンクラスター [Mn₉(2POAP-2H)₆](ClO₄)₆ においても観測されている。⁶¹⁾ また,若干,反強磁性から外れて,傾斜反強磁性的な基底 状態をもつスピンリング [Dv₃(μ_3 -OH)₂(o-van)₃Cl(H₂O)₅]Cl₃ の熱容量も報告されているが、測定温度域では長距離秩序 は観測されていない。⁶²⁾



 $\label{eq:Fig.7} \textbf{Fig.7} \ \ Zeeman \ \ splitting \ \ of \ \ lowest-lying \ \ spin \ \ levels \ \ of \\ [LiFe_6(OCH_3)_{12}(dbm)_6]BPh_4. \ ^{57)}$

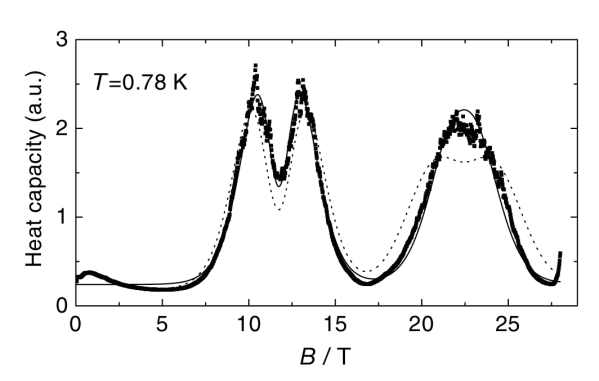


Fig.8 Field dependence of the isothermal heat capacity of [LiFe₆(OCH₃)₁₂(dbm)₆]BPh₄ measured at 0.78 K.⁵⁷⁾ The solid curve is a two-level Schottky anomaly calculated using the energy level scheme in Fig. 7. The broken curve is the best fit assuming sample inhomogeneity and no avoided crossings.

7. おわりに

1990 年前後に David N. Hendrickson 教授 (UCSD) のグル ープが SMM の最初の例として Mn12 ファミリーを再発見 したとき, ダイポールグラスなど, 結晶中の電気双極子の 配向分極緩和に親しんでいた熱測定関係者には至極自然に 受けとられたが、スピンを量子論的なオブジェクトと捉え ていた多くの研究者にはこの発見は驚きをもって迎えられ た。それからほぼ四半世紀が過ぎたいま, 当初は予想して いなかった、量子効果をはじめとする豊かな内容が明らか にされてきている。本稿では、SMM とその関連化合物の 熱容量に絞って, 世界各地で行われた研究を紹介したが, 温度のみならず外部磁場を制御変数とした熱容量測定が, その分光法としての側面および長距離秩序の有無の判断基 準として, この分野で重用されていることをご理解いただ けたことと思う。現在は,磁気冷凍や二次電池への産業応 用が検討されたり、スピントロニクスへの展開も試みられ ており, 今後の進展が楽しみである。

謝 辞

本稿の内容は徂徠道夫大阪大学名誉教授が中心になってまとめられた英文総説 ⁵⁾の一部を下敷きにしています。また、本稿の執筆をお勧めいただいた構造熱科学研究センター長の中澤康浩教授に感謝します。

文 献

- D. Gatteschi, R. Sessoli, and J. Villain, Molecular Nanomagnets, Oxford University Press (2006).
- R. E. P. Winpenny (ed.), Single-Molecule Magnets and Related Phenomena, Springer-Verlag (2006).
- 3) G. Christou, D. Gatteschi, D. N. Hendrickson, and R. Sessoli, MRS Bull. 25, 66 (2000).
- D. Gatteschi and R. Sessoli, Angew. Chem., Int. Ed. 42, 268 (2003).
- M. Sorai, Y. Nakazawa, M. Nakano, and Y. Miyazaki, *Chem. Rev.* 113, PR41 (2013).
- A. L. Barra, D. Gatteschi, and R. Sessoli, *Phys. Rev. B* 56, 8192 (1997).
- Z. Sun, D. Ruiz, N. R. Dilley, M. Soler, J. Ribas, K. Folting, M. B. Maple, G. Christou, and D. N. Hendrickson, *J. Chem. Soc.*, Chem. Commun., 1973 (1999).
- A. M. Gomes, M. A. Novak, R. Sessoli, A. Caneschi, and D. Gatteschi, *Phys. Rev. B* 57, 5021 (1998).
- M. A. Novak, A. M. Gomes, and R. E. Rapp, *J. Appl. Phys.*, 83, 6943 (1998).
- M. A. Novak, A. M. Gomes, W. S. D. Folly, and R. E. Rapp, *Magn. Magn. Mater. Appl., Mater. Sci. Forum* 302-303, 334 (1999).
- 11) A. M. Gomes, M. A. Novak, W. C. Nunes, and R. E. Rapp, J. Magn. Magn. Mater. 226, 2015 (2001).
- Y. Miyazaki, A. Bhattacharjee, M. Nakano, K. Saito, S. M. J. Aubin, H. J. Eppley, G. Christou, D. N. Hendrickson, and M. Sorai, *Inorg. Chem.* 40, 6632 (2001).
- 13) F. Fominaya, T. Fournier, P. Gandit, and J. Chaussy, *Rev. Sci. Instrum.* **68**, 4191 (1997).
- 14) F. Fominaya, J. Villain, T. Fournier, P. Gandit, J. Chaussy, A. Fort, and A. Caneschi, *Phys. Rev. B* 59, 519 (1999).
- F. Luis, F. L. Mettes, J. Tejada, D. Gatteschi, and L. J. de Jongh, *Phys. Rev. Lett.* 85, 4377 (2000).
- F. Luis, F. L. Mettes, J. Tejada, D. Gatteschi, and L. J. de Jongh, *Polyhedron* 20, 1451 (2001).

- 17) F. L. Mettes, F. Luis, and L J. de Jongh, *Phys. Rev. B* 64, 174411 (2001).
- 18) F. Fominaya, J. Villain, P. Gandit, J. Chaussy, and A. Caneschi, *Phys. Rev. Lett.* **79**, 1126 (1997).
- J. F. Fernandez, F. Luis, and J. Bartolome, *Phys. Rev. Lett.*, 80, 5659 (1998).
- M. Sales, J. M. Hernandez, J. Tejada, and J. L. Martinez, *Phys. Rev. B* 60, 14557 (1999).
- S. J. Shah, C. M. Ramsey, K. J. Heroux, A. G. DiPasquale, N. S. Dalal, A. L. Rheingold, E. del Barco, and D. N. Hendrickson, *Inorg. Chem.* 47, 9569 (2008).
- F. Luis, F. Mettes, M. Evangelisti, A. Morello, and L. J. de Jongh, J. Phys. Chem. Solids 65, 763 (2004).
- G. Gaudin, P. Gandit, J. Chaussy, and R. Sessoli, *J. Magn. Magn. Mater.* 242, 915 (2002).
- 24) F. Fominaya, P. Gandit, G. Gaudin, J. Chaussy, R. Sessoli, and C. Sangregorio, J. Magn. Magn. Mater. 195, L253 (1999).
- A. M. Gomes, M. A. Novak, W. C. Nunes, and R. E. Rapp, Inorg. Chim. Acta, 361, 3975 (2008).
- M. Evangelisti, F. Luis, L. J. de Jongh, and M. Affronte, J. Mater. Chem. 16, 2534 (2006).
- 27) A. Yamaguchi, N. Kusumi, H. Ishimoto, H. Mitamura, T. Goto, N. Mori, M. Nakano, K. Awaga, J. Yoo, D. N. Hendrickson, and G. Christou, *J. Phys. Soc. Jpn.* 71, 414 (2002).
- 28) M. Affronte, J. C. Lasjaunias, W. Wernsdorfer, R. Sessoli, D. Gatteschi, S. L. Heath, A. Fort, and A. Rettori, *Phys. Rev. B* 66, 064408 (2002).
- 29) M. Affronte, R. Sessoli, D. Gatteschi, W. Wernsdorfer, J. C. Lasjaunias, S. L. Heath, A. K. Powell, A. Fort, and A. Rettori, J. Phys. Chem. Solids 65, 745 (2004).
- A. Morello, F. L. Mettes, F. Luis, J. F. Fernández, J. Krzystek, G. Aromí, G. Christou, and L. J. de Jongh, *Phys. Rev. Lett.* 90, 017206 (2003).
- 31) A. Morello, F. L. Mettes, O. N. Bakharev, H. B. Brom, L. J. de Jongh, F. Luis, J. F. Fernández, and G. Aromí, *Phys. Rev. B* **73**, 134406 (2006).
- 32) C. Vecchini, D. H. Ryan, L. M. D. Cranswick, M. Evangelisti, W. Kockelmann, P. G. Radaelli, A. Candini, M. Affronte, I. A. Gass, E. K. Brechin, and O. Moze, *Phys. Rev. B* 77, 224403 (2008).
- 33) A. L. Barra, A. Caneschi, A. Cornia, F. F. de Biani, D. Gatteschi, C. Sangregorio, R. Sessoli, and L. Sorace, *J. Am. Chem. Soc.* 121, 5302 (1999).
- 34) G. Amoretti, S. Carretta, R. Caciuffo, H. Casalta, A. Cornia, M. Affronte, and D. Gatteschi, *Phys. Rev. B* 64, 104403 (2001).
- 35) F. L. Mettes, G. Aromi, F. Luis, M. Evangelisti, G. Christou, D. N. Hendrickson, and L. J. de Jongh, Polyhedron 20, 1459 (2001).
- M. Evangelisti, F. Luis, F. L. Mettes, N. Aliaga, G. Aromi,
 G. Christou, and L. J. de Jongh, *Polyhedron* 22, 2169 (2003).
- M. Evangelisti, F. Luis, F. L. Mettes, N. Aliaga, G. Aromí, J. J. Alonso, G. Christou, and L. J. de Jongh, *Phys. Rev. Lett.* 93, 117202 (2004).
- 38) G. Aromí, E. Bouwman, E. Burzurí, C. Carbonera, J. Krzystek, F. Luis, C. Schlegel, J. van Slageren, S. Tanase, and S. J. Teat, *Chem. Eur. J.* 14, 11158 (2008).
- 39) C. C. Beedle, J. J. Henderson, P.-C. Ho, T. Sayles, M. Nakano, J. R. O'Brien, K. J. Heroux, E. del Barco, M. B. Maple, and D. N. Hendrickson, *Inorg. Chem.* 49, 5780 (2010).
- K. Katoh, T. Kajiwara, M. Nakano, Y. Nakazawa, W. Wernsdorfer, N. Ishikawa, B.K. Breedlove, M. Yamashita, *Chem. Eur. J.* 17, 117 (2011).
- 41) R. J. Glauber, J. Math. Phys. 4, 294 (1963).

- 42) L. J. de Jongh and A. R. Miedema, Adv. Phys. 23, 1 (1974).
- 43) A. Caneschi, D. Gatteschi, N. Lalioti, C. Sangregorio, R. Sessoli, G. Venturi, A. Vindigni, A. Rettori, M. G. Pini, and M. A. Novak, *Angew. Chem.*, *Int. Ed.* 40, 1760 (2001).
- 44) R. Clérac, H. Miyasaka, M. Yamashita, and C. Coulon, J. Am. Chem. Soc. 124, 12837 (2002).
- 45) H. Miyasaka, T. Madanbashi, K. Sugimoto, Y. Nakazawa, W. Wernsdorfer, K.-I. Sugiura, M. Yamashita, C. Coulon, and R. Clérac, *Chem. Eur. J.* 12, 7028 (2006).
- A. Bhattacharjee, Y. Miyazaki, M. Nakano, J. Yoo, G. Christou, D. N. Hendrickson, and M. Sorai, *Polyhedron* 20, 1607 (2001).
- 47) S. Gao, G. Su, T. Yi, and B.-Q. Ma, *Phys. Rev. B* 63, 054431 (2001).
- J. Yoo, W. Wernsdorfer, E.-C. Yang, M. Nakano, A. L. Rheingold, and D. N. Hendrickson, *Inorg. Chem.*, 44, 3377 (2005).
- 49) H. Miyasaka, K. Nakata, L. Lecren, C. Coulon, Y. Nakazawa, T. Fujisaki, K.-I. Sugiura, M. Yamashita, and R. Clérac, J. Am. Chem. Soc. 128, 3770 (2006).
- T. Fujisaki, Y. Nakazawa, M. Oguni, K. Nakata, M. Yamashita, L. Lecren, and H. Miyasaka, J. Phys. Soc. Jpn. 76, 104602 (2007).
- 51) S. Yamashita, K. Hino, Y. Inoue, Y. Okada, R. Hirahara, Y. Nakazawa, H. Miyasaka, and M. Yamashita, *J. Therm. Anal. Calorim.* 92, 439 (2008).
- S. Yamashita, T. Fujisaki, Y. Nakazawa, M. Oguni, K. Nakata, M. Yamashita, and H. Miyasaka, J. Phys. Soc. Jpn., 77, 073708 (2008).
- 53) A. Chiolero and D. Loss, *Physica E* 1, 292 (1997).
- 54) M. Affronte, J. C. Lasjaunias, and A. Cornia, Eur. Phys. J. B 15, 633 (2000).
- M. Affronte, J. C. Lasjaunias, and A. Cornia, *Physica B* 284, 1233 (2000).
- M. Affronte, J. C. Lasjaunias, A. Cornia, and A. Caneschi, *Phys. Rev. B* 60, 1161 (1999).
- 57) M. Affronte, A. Cornia, A. Lascialfari, F. Borsa, D. Gatteschi, J. Hinderer, M. Horvatić, A. G. M. Jansen, and M.-H. Julien, *Phys. Rev. Lett.* 88, 167201 (2002).
- 58) M. Affronte, J. C. Lasjaunias, and L. Abbati, *Phys. Rev. B* 66, 180405 (2002).
- 59) S. Carretta, J. van Slageren, T. Guidi, E. Liviotti, C. Mondelli, D. Rovai, A. Cornia, A. L. Dearden, F. Carsughi, M. Affronte, C. D. Frost, R. E. P. Winpenny, D. Gatteschi, G. Amoretti, and R. Caciuffo, *Phys. Rev. B* 67, 094405 (2003).
- 60) M. Affronte, T. Guidi, R. Caciuffo, S. Carretta, G. Amoretti, J. Hinderer, I. Sheikin, A. G. M. Jansen, A. A. Smith, R. E. P. Winpenny, J. van Slageren, and D. Gatteschi, *Phys. Rev.* B 68, 104403 (2003).
- 61) S. Carretta, P. Santini, E. Liviotti, N. Magnani, T. Guidi, R. Caciuffo, and G. Amoretti, *J. Appl. Phys.* **95**, 7348 (2004).
- 62) Z. Salman, S. R. Giblin, Y. Lan, A. K. Powell, R. Scheuermann, R. Tingle, and R. Sessoli, *Phys. Rev. B* 82, 174427 (2010).